

Решение уравнения Рейнольдса методом конечных элементов

Студент: И.А. Емелин
Группа ФН2-62Б
Науч. рук.: А.В. Селиванов

4 июня 2021 г.

Постановка задачи

Цель

Построение модели для расчёта течения вязкой несжимаемой жидкости в тонком слое между двумя плоскими пластинами с помощью метода конечных элементов

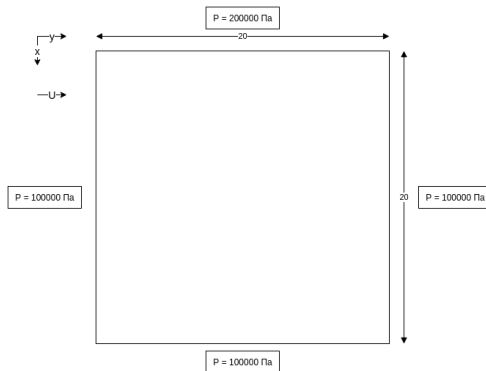


Рис. 1: Проекция расчётной области

Дифференциальное уравнение Рейнольдса

$$\frac{\partial}{\partial x} \left(h^3 \frac{\partial p}{\partial x} \right) + \frac{\partial}{\partial y} \left(h^3 \frac{\partial p}{\partial y} \right) = 6\mu U \frac{\partial h}{\partial y}$$

$h = h(x, y)$ – толщина слоя

$p = p(x, y)$ – давление

μ – коэффициент вязкости

Граничные условия:

U – скорость в направлении оси y на одной из пластин

$p_H = 200000$ Па повышенное давление

$p_L = 100000$ Па пониженное давление

$U = 120$ м/с

Уравнение Рейнольдса

$$\frac{\partial}{\partial s} \left(H^3 \frac{\partial P}{\partial s} \right) + \frac{\partial}{\partial z} \left(H^3 \frac{\partial P}{\partial z} \right) = \frac{6\mu LU}{\rho_L h_{min}^2} \frac{\partial H}{\partial s}$$

$$H = \frac{h}{h_{min}}, \quad P = \frac{p}{p_L}, \quad s = \frac{y}{L}, \quad z = \frac{x}{L}$$

Граничные условия

$$P|_{z=0} = \frac{p_H}{p_L} = 2, \quad P|_{s=0} = P|_{s=L} = P|_{z=L} = \frac{p_L}{p_L} = 1$$

Решение

$$P(z, s) = \sum_{n=1}^{M^2} p_n N(z, s)$$

$N(z, s)$ – функции формы,
 p_n – неизвестные коэффициенты

Функции формы

$$N_l(s, z) = a_l + b_l s + c_l z, \quad l = i, j, k$$

Невязка

$$LP - f = \varepsilon$$

Условие ортогональности невязки и весовых функций

$$\int_S [N]^T \left(\frac{\partial}{\partial s} \left(H^3 \frac{\partial P}{\partial s} \right) + \frac{\partial}{\partial z} \left(H^3 \frac{\partial P}{\partial z} \right) - \frac{6\mu LU}{\rho_L h_{min}^2} \frac{\partial H}{\partial s} \right) dS = 0$$

Применение формулы Грина

$$\oint_{\mathcal{L}} \left([N]^T \left(H^3 \frac{\partial P}{\partial s} l_s + H^3 \frac{\partial P}{\partial z} l_z \right) \right) d\mathcal{L} - \int_S \left(\frac{\partial [N]^T}{\partial s} H^3 \frac{\partial P}{\partial s} + \right. \\ \left. + \frac{\partial [N]^T}{\partial z} H^3 \frac{\partial P}{\partial z} + [N]^T \frac{6\mu LU}{\rho_L h_{min}^2} \frac{\partial H}{\partial s} \right) dS = 0$$

Условие ортогональности невязки и весовых функций

$$\int_S \left(\frac{\partial [N]^T}{\partial s} H^3 \frac{\partial P}{\partial s} + \frac{\partial [N]^T}{\partial z} H^3 \frac{\partial P}{\partial z} + [N]^T \frac{6\mu LU}{\rho_L h_{min}^2} \frac{\partial H}{\partial s} \right) dS = 0$$

Движение жидкости в разных зазорах

Движение жидкости в постоянном зазоре

$$\int_S \left(\frac{\partial[M]^T}{\partial s} \frac{\partial P}{\partial s} + \frac{\partial[M]^T}{\partial z} \frac{\partial P}{\partial z} \right) dS = 0$$
$$S_e \cdot \begin{pmatrix} b_i b_i + c_i c_i & b_i b_j + c_i c_j & b_i b_k + c_i c_k \\ b_j b_i + c_j c_i & b_j b_j + c_j c_j & b_j b_k + c_j c_k \\ b_k b_i + c_k c_i & b_k b_j + c_k c_j & b_k b_k + c_k c_k \end{pmatrix} \begin{pmatrix} p_i \\ p_j \\ p_k \end{pmatrix} = \begin{pmatrix} 0 \\ 0 \\ 0 \end{pmatrix}$$

Движение жидкости в клиновидном зазоре

$$\int_S \left(\frac{\partial[M]^T}{\partial s} (ks + H_0)^3 \frac{\partial P}{\partial s} + \frac{\partial[M]^T}{\partial z} (ks + H_0)^3 \frac{\partial P}{\partial z} + [M]^T \frac{6\mu LU}{\rho_L h_{min}^2} k \right) dS = 0$$
$$\lambda_1 \cdot \begin{pmatrix} b_i b_i + c_i c_i & b_i b_j + c_i c_j & b_i b_k + c_i c_k \\ b_j b_i + c_j c_i & b_j b_j + c_j c_j & b_j b_k + c_j c_k \\ b_k b_i + c_k c_i & b_k b_j + c_k c_j & b_k b_k + c_k c_k \end{pmatrix} \begin{pmatrix} p_i \\ p_j \\ p_k \end{pmatrix} = \begin{pmatrix} \lambda_2 a_i + \lambda_3 b_i + \lambda_4 c_i \\ \lambda_2 a_j + \lambda_3 b_j + \lambda_4 c_j \\ \lambda_2 a_k + \lambda_3 b_k + \lambda_4 c_k \end{pmatrix}$$

Система уравнений МКЭ

$$GP = B$$

G – глобальная матрица жесткости

P – вектор давлений в узлах

B – вектор правых частей

Результаты численного моделирования

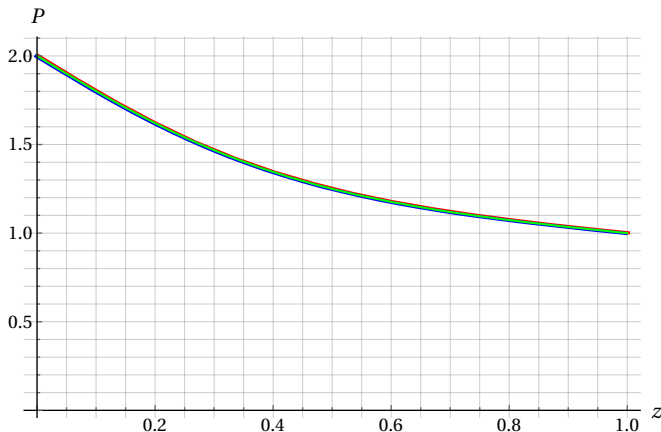
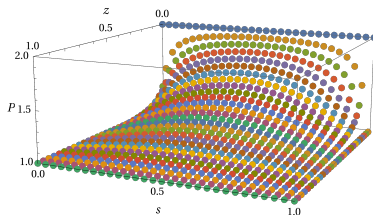
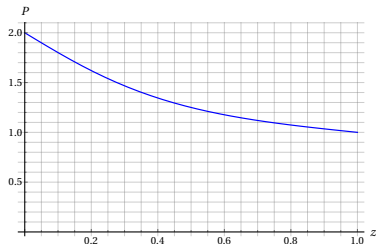


Рис. 2: Распределение давления в центральном сечении канала для сеток с различным числом элементов (16×16 (красный), 32×32 (синий) и 64×64 (зеленый))

Результаты численного моделирования



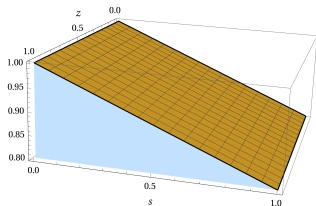
(a) Давление в слое жидкости



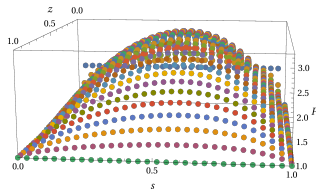
(b) Распределение давления в центральном сечении

Рис. 3: Результат для канала постоянного сечения

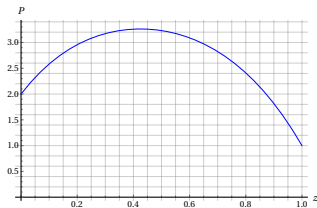
Результаты численного моделирования



(a) Высота зазора



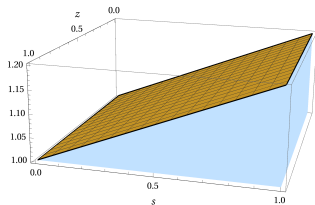
(b) Давление в слое жидкости



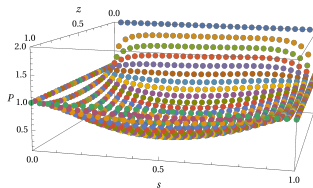
(c) Распределение давления в центральном сечении

Рис. 4: Результат для сужающегося (по направлению скорости U) канала

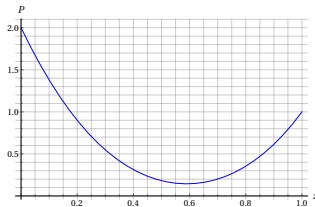
Результаты численного моделирования



(a) Высота зазора



(b) Давление в слое жидкости



(c) Распределение давления в центральном сечении

Рис. 5: Результат для расширяющегося (по направлению скорости U) канала

Результаты

1. Качественное соответствие результатов расчетов и реальных картин течения в жидких пленках для трех типов зазоров позволяет рекомендовать использование МКЭ для решения задач теории смазки.
2. Анализ чувствительности результатов расчётов к измельчению сетки показал приемлемый уровень расхождения для рассмотренных случаев.
3. Для задач с большими градиентами давления рекомендуется повышение порядка конечных элементов.

СПАСИБО ЗА ВНИМАНИЕ!